



Notice de vérification et de maintenance







DISTILLERIE REMY PIRON

Site d'Angeac Champagne (16)

Rédacteur : G.BRIEZ

Date : 25/07/2022

HISTORIQUE DES EVOLUTIONS

Indice de révision	Date	Objet de l'évolution	Nom et signatures	
			Rédacteur	Vérificateur
0	21/11/16	Version initiale	GB 	TK 
1	17/03/22	Changement de risque de panique concernant le bloc 6	GB 	TK 
2	25/07/22	Prise en compte des deux nouveaux chais de cognac	GB 	TK 

SOMMAIRE

1. <u>LISTE ET LOCALISATION DES PROTECTIONS CONTRE LA Foudre</u>	Page 4
1.1 Les IEPF	Page 4
1.2 Les IIPF	Page 6
1.3 Prévention	Page 6
2. <u>VERIFICATION DES PROTECTIONS Foudre</u>	Page 7
2.1 Vérification initiale	Page 7
2.2 Vérifications périodiques	Page 7
2.3 Les Installations Extérieures de Protection contre la Foudre (IEPF)	Page 9
2.4 Les Installations Intérieures de Protection contre la Foudre (IIPF)	Page 11

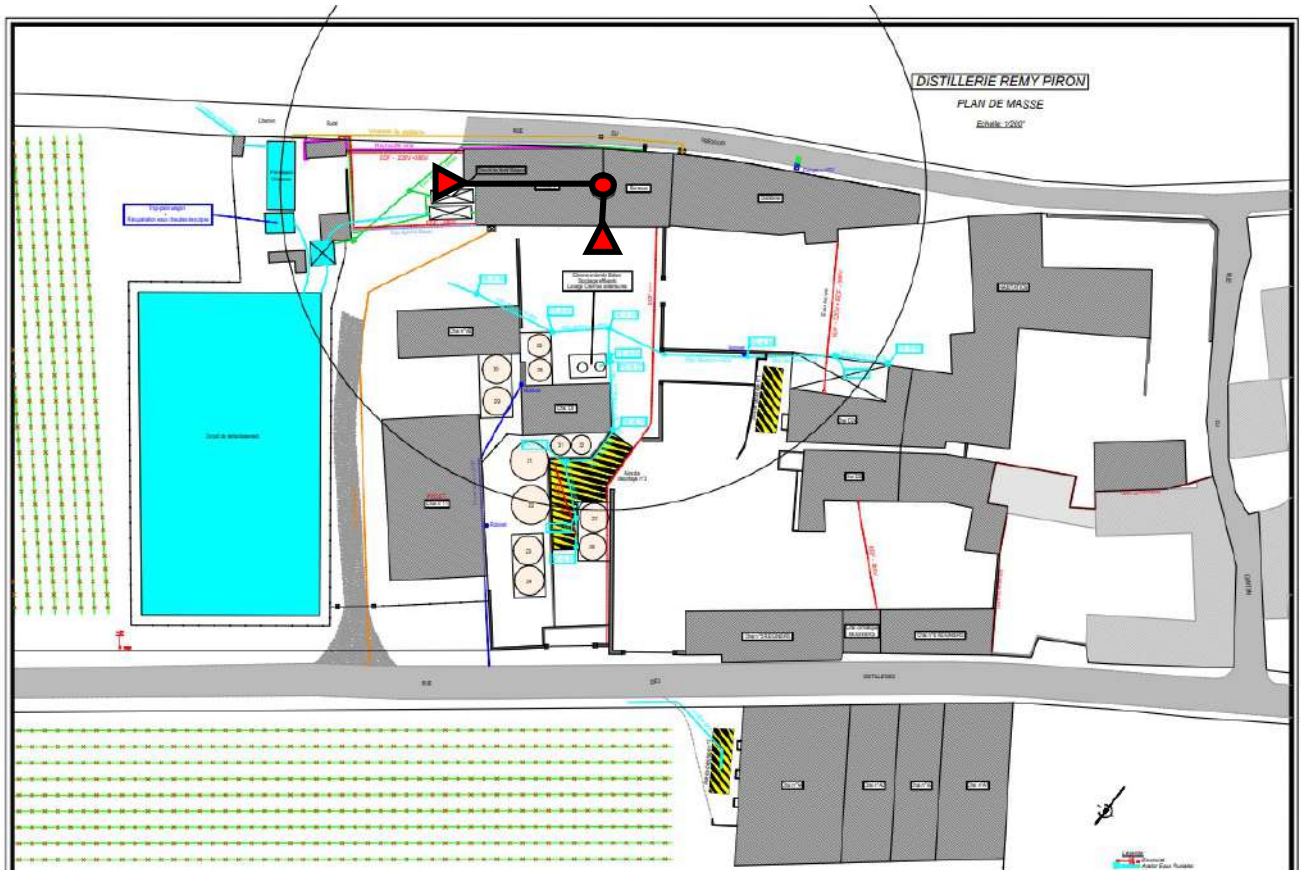
1. Liste et localisation des protections contre la foudre


1.1 Les IEPF :

- 1 PDA testable de 40µs
- 1 mât support de 5.50 m,
- 2 descentes paratonnerres en conducteur normalisé,
- 2 joints de contrôle,
- 2 gaines de protection basse,
- 1 compteur d'impact,
- 2 prises de terre de type A,
- 2 liaisons équipotentielles terre paratonnerre - terre électrique par un système permettant la déconnexion,
- 2 affichettes de prévention,
- Distances de séparation :

S PDA distillerie = 0.30 m

Plan de la protection foudre IEPF :



 — Prises de terre et descentes paratonnerres

50 m



1.2 Les IIPF :

- Un parafoudre de type I+II aux armoires suivantes:
 - Armoire principale site (bâtiment distilleries + bureaux)

Caractéristiques :

- $U_c \leq 440 \text{ V}$,
 - $U_p \leq 1.5 \text{ kV}$,
 - $I_{imp} \geq 12.5 \text{ kA}$,
 - $I_{cc} \text{ parafoudres} > I_{cc} \text{ équipement}$,
 - 1 dispositif de déconnexion,
 - Câblage $< 50 \text{ cm}$.
- Liaisons équipotentielles :
 - Cuves inox d'alcool du site.

1.3 La prévention :

- La détection du risque orageux se fera par observation humaine. Selon le guide UTC C 18-150, il y a menace d'orage quand un éclair est visible ou si le tonnerre est audible.
- Procédure stipulant en période orageuse :
 - L'interdiction d'accès en toiture du bâtiment,
 - D'intervention sur le réseau électrique,
 - De proximité avec les installations paratonnerres,
 - De dépotage,
 - D'utiliser la station de carburant.

2. Vérification des protections foudre

2.1 Vérification initiale

Tout d'abord, l'article 21 de l'arrêté foudre du 19 juillet 2011 exige que :

« L'installation des protections fait l'objet d'une vérification complète par un organisme compétent distinct de l'installateur, au plus tard six mois après leur installation. »

2.2 Vérifications périodiques

La circulaire du 24 avril 2008 stipule que l'installation de protection foudre doit être contrôlée par un organisme compétent :

- Visuellement tous les ans (hors mesures électriques),
- Complètement tous les 2 ans (avec mesures électriques),
- Sous un mois si impact foudre.

D'autre part, quel que soit le système de protection contre les coups de foudre direct installé, une vérification visuelle doit être réalisée en cas d'enregistrement d'un coup de foudre.

L'article 21 de l'arrêté précise qu' :

« En cas de coup de foudre enregistré, une vérification visuelle des dispositifs de protection concernés est réalisée dans un délai maximum d'un mois, par un organisme compétent. »

Norme NFC 17102 de septembre 2011

La vérification initiale est effectuée après la fin des travaux d'installation du SPF à dispositif d'amorçage.

Son objectif est de s'assurer que la totalité de l'installation du SPF à dispositif d'amorçage est conforme au présent document, ainsi qu'au dossier d'exécution.

Cette vérification porte au moins sur les points suivants :

- le PDA se trouve à au moins 2 m au-dessus de tout objet situé dans la zone protégée ;
- le PDA a les caractéristiques indiquées dans le dossier d'exécution ;
- le nombre de conducteurs de descente ;
- la conformité des composants du SPF à dispositif d'amorçage au présent document, aux normes de la série NF EN 50164, NF EN 61643, par marquage par déclaration ou par documentation ;
- le cheminement, emplacement et continuité électrique des conducteurs de descente ;
- la fixation des différents composants ;
- les distances de séparation et/ou liaisons équipotentielles ;
- la résistance des prises de terre ;
- l'équipotentialité de la prise de terre du SPF avec celle du bâtiment.

Dans tous les cas, lorsqu'un conducteur est partiellement ou totalement intégré, il convient que sa continuité électrique soit vérifiée.

8.5 Vérification visuelle

Il convient de procéder à une inspection visuelle afin de s'assurer que :

- aucun dommage relatif à la foudre n'est relevé ;
- l'intégrité du PDA n'est pas modifiée ;
- aucune extension ou modification de la structure protégée ne requiert l'application de mesures complémentaires de protection contre la foudre ;
- la continuité électrique des conducteurs visibles est correcte ;
- toutes les fixations des composants et toutes les protections mécaniques sont en bon état ;
- aucune pièce n'a été détériorée par la corrosion ;
- la distance de séparation est respectée, le nombre de liaisons équipotentielles est suffisant et leur état est correct ;
- l'indicateur de fin de vie des dispositifs des parafoudres est correct ;
- les résultats des opérations de maintenance sont contrôlés et consignés (voir 8.7).

8.6 Vérification complète

Une vérification complète comprend les inspections visuelles et les mesures suivantes pour vérifier :

- la continuité électrique des conducteurs intégrés ;
- les valeurs de résistance de la prise de terre (il convient d'analyser toutes les variations supérieures à 50 % par rapport à la valeur initiale) ;
- le bon fonctionnement du PDA selon la méthodologie fournie par le fabricant.

NOTE Une mesure de terre à haute fréquence est possible lors de la réalisation du système de prise de terre ou en phase de la maintenance afin de vérifier la cohérence entre le système de prise de terre réalisé et le besoin.

8.7 Maintenance

Il est recommandé de corriger tous les défauts constatés dans le SPF à dispositif d'amorçage lors d'une vérification dès que possible afin de maintenir une efficacité optimale. Les consignes de maintenance des composants et des dispositifs de protection sont à appliquer conformément aux instructions des manuels du fabricant.

2.3 Les Installations Extérieures de Protection contre la Foudre (IEPF)

Fiche n°.....

Vérification effectuée le :/...../.....

Par M.....

INSTALLATION EXTERIEURE DE PROTECTION CONTRE LA Foudre (IEPF)				
DISPOSITIF (NORME PRODUIT)	COMPOSANT DU DISPOSITIF	POINT DE CONTROLE	CONFORME	NON CONFORME
CAPTURE	PDA	Etat physique		
		Corrosion		
		Test de la partie active (si vérification complète)		
	Fixation du PDA	Etat physique		
		Corrosion Haubanage		
DESCENTE 1 : CONDUCTEUR DEDIE	Fixation, connexion, support	Connexion, continuité		
	Conducteur	Cheminement, nature, section, rupture,...		
	Protection mécanique	Corrosion, arrachement,...		
	Compteur d'impact	Etat physique incrémentation,...		
	Borne de mesure	Corrosion, arrachement,...		
DESCENTE 2 :	Elément naturel	Connexion, continuité		
	Ferraille à béton	Continuité		
	Conducteur rapporté	Cheminement, nature, section, rupture,...		
	Fixation, connexion, support	Arrachement, corrosion		
	Protection mécanique	Corrosion, arrachement,...		
	Compteur d'impact	Intégrité de l'appareil, éventuelle incrémentation,...		
	Borne de mesure	Corrosion, arrachement,...		
PRISE DE TERRE	Réalisation	Type A, type B, nature et section des électrodes,...		
	0 < conservation ≤ 10 Ω	Résistance		
	Regard de visite, état de la connexion	Accessibilité, corrosion,...		
	Interconnexion au fond de fouille	Accessibilité, corrosion,...		
EQUIPOTENTIALITE ET SEPARATION	Conducteur, connexion	Nature, section, cheminement, connexion, fixation,...		
	Distance de séparation	Maintien de la distance		

Fait à : le/...../.....

Signature :

Méthode de mesure de la résistance :

- Ouverture du joint de contrôle intercalé sur le conducteur de descente à environ 2 mètres du sol,
- Désolidarisation de l'ensemble gaine/conducteur de la structure sur laquelle elle est fixée, si celle-ci est conductrice,
- Séparation au niveau du regard de visite du conducteur méplat de la prise de terre du paratonnerre et du conducteur de terre en cuivre nu du réseau électrique du bâtiment,
- Mise en œuvre de la méthode de mesure de la résistance (voir ci-dessous)
- Remontage de l'ensemble ;

Celle-ci s'effectue avec un appareil de mesure conforme à la norme de sécurité NF EN 61010-1 de 1993, relative aux instruments de mesures électroniques et permet :

- La mesure de résistance des prises de terre,
- La mesure de continuité.

La mesure de la valeur ohmique de la prise de terre isolée des autres circuits est réalisée à l'aide de deux autres prises de terre auxiliaires.

C'est une mesure différentielle entre deux points :

- La source de tension (1^{er} piquet de terre Z situé à une distance d de la prise de terre à mesurer),
- La mesure de tension (2^{ème} piquet Y situé à 62 % de d).

La chute de tension entre ces deux points indique la résistance de terre à mesurer.

2.4 Les Installations Intérieures de Protection contre la Foudre (IIPF)

Fiche n°.....

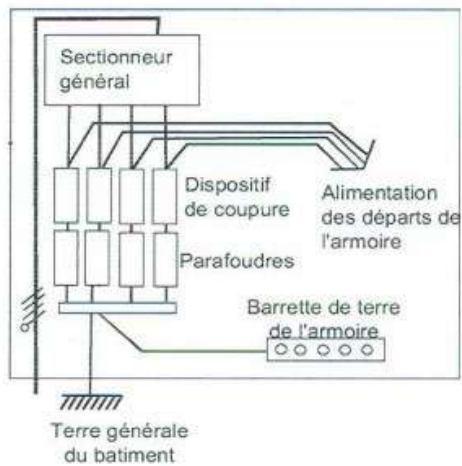
Vérification effectuée le :/...../.....

Par M.....

EQUIPEMENTS PROTEGES :

IMPLANTATION DES PARAFOUDRES :

SCHEMA ELECTRIQUE :



CARACTERISTIQUES PARAFOUDRES

Régime de Neutre : _____

Marque :

Type 1

Type 2 ou 3

Up :kV

Uc :V

Pour type 1 :

Iimp : kA

Pour type 2 ou 3 :

In :kA

I_{max} :kA

<input type="checkbox"/> OUI	<input type="checkbox"/> NON
<input type="checkbox"/> OUI	<input type="checkbox"/> NON
<input type="checkbox"/> OUI	<input type="checkbox"/> NON
<input type="checkbox"/> OUI	<input type="checkbox"/> NON

INSPECTION VISUELLE :

- Règle des 50 cms respectée
- Section des câbles respectée
- Signalisation de défaut du parafoudre
- Dispositif de coupure associé existant

RESULTAT DE LA VERIFICATION

- Installation parafoudres sans défaut

OUI NON

Si non, l'installation présente les défauts suivants :

ACTIONS CORRECTIVES

Fait à : le/...../.....

Signature :

**EDD - ANNEXE 3. MÉTHODE D'ANALYSE — DONNÉES SUR LES
CAUSES**

Appréciation de la démarche de réduction du risque à la source

Règles générales

Critères d'appréciation de la justification par l'exploitant de la maîtrise du risque accidentel correspondant à des dommages potentiels aux personnes à l'extérieur de l'établissement

Critères d'appréciation de la justification par l'exploitant de la maîtrise du risque accidentel correspondant à des dommages potentiels aux personnes à l'extérieur de l'établissement

A. Le sous-paragraphe suivant «Grille d'analyse de la justification...» p129 constitue une grille d'appréciation, par le préfet, de la démarche de maîtrise des risques d'accidents majeurs par l'exploitant de l'établissement. Elle se subdivise en 25 cases, correspondant à des couples «probabilité» / «gravité des conséquences» identiques à ceux du modèle figurant à l'annexe V de l'arrêté du 10 mai 2000 modifié que l'exploitant de l'établissement doit utiliser comme modèle pour positionner chacun des accidents potentiels dans son étude de dangers. Elle s'utilise donc par superposition avec le tableau figurant dans l'étude de dangers.

Cette grille délimite **trois zones** de risque accidentel :

- une zone de *risque élevé*, figurée par le mot « NON »,
- une zone de *risque intermédiaire*, figurée par le sigle « MMR » (mesures de maîtrise des risques), dans laquelle une démarche d'amélioration continue est particulièrement pertinente, en vue d'atteindre, dans des conditions économiquement acceptables, un niveau de risque aussi bas que possible, compte tenu de l'état des connaissances et des pratiques et de la vulnérabilité de l'environnement de l'installation,
- une zone de *risque moindre*, qui ne comporte ni « NON » ni « MMR ».

La gradation des cases « NON » ou « MMR » en « rangs », correspond à un risque croissant, depuis le rang 1 jusqu'au rang 4 pour les cases « NON » et depuis le rang 1 jusqu'au rang 2 pour les cases « MMR ». Cette gradation correspond à la priorité que l'on peut accorder à la réduction des risques, en s'attachant d'abord à réduire les risques les plus importants (rangs les plus élevés).

B. En fonction de la combinaison de probabilité d'occurrence et de gravité des conséquences potentielles des accidents correspondant aux phénomènes dangereux identifiés dans l'étude de dangers, des actions différentes doivent être envisagées, graduées selon le risque. Trois situations se présentent :

Situation n° 1 : un ou plusieurs accidents ont un couple (probabilité - gravité) correspondant à une case comportant le mot « NON » dans le tableau du sous-paragraphe «Grille d'analyse de la justification...» p129.

Il en découle les conclusions suivantes :

- pour une *nouvelle autorisation*, le risque est présumé trop important pour pouvoir autoriser l'installation en l'état, il convient de demander à l'exploitant de modifier son projet de façon à réduire le risque à un niveau plus faible, l'objectif restant de sortir des cases comportant ce mot « NON »,
- pour une *installation existante, dûment autorisée*, il convient de demander à l'exploitant des propositions de mise en place, dans un délai défini par arrêté préfectoral, de mesures de réduction complémentaires du risque à la source qui permettent de sortir de la zone comportant le mot « NON » du sous-paragraphe

Appréciation de la démarche de réduction du risque à la source

Règles générales

Critères d'appréciation de la justification par l'exploitant de la maîtrise du risque accidentel correspondant à des dommages potentiels aux personnes à l'extérieur de l'établissement

NB

En outre, si le nombre total cumulé d'accidents situés dans l'ensemble des cases «MMR rang 2» pour l'ensemble de l'établissement est supérieur à 5, il faut considérer le risque global comme équivalent à un accident situé dans une case «NON rang 1» (situation n° 1) sauf si pour les accidents excédant ce nombre de 5, le niveau de probabilité de chaque accident est conservé dans sa même classe de probabilité lorsque, pour chacun des scénarios menant à cet accident, la probabilité de défaillance de la mesure de maîtrise des risques de plus haut niveau de confiance s'opposant à ce scénario est portée à 1. Ce critère est équivalent à considérer le niveau de confiance ramené à zéro pour la dite mesure de maîtrise des risques (parfois aussi appelée « barrière »).

« Grille d'analyse de la justification... » p129, assorties de mesures conservatoires prises à titre transitoire. Si malgré les mesures complémentaires précitées, il reste au moins un accident dans une case comportant le mot « NON », le risque peut justifier, à l'appréciation du préfet, une fermeture de l'installation par décret en Conseil d'Etat, sauf si des mesures supplémentaires, prises dans un cadre réglementaire spécifique tel qu'un plan de prévention des risques technologiques, permettent de ramener, dans un délai défini, l'ensemble des accidents hors de la zone comportant le mot « NON » du sous-paragraphe « Grille d'analyse de la justification... » p129.

Situation n° 2 : un ou plusieurs accidents ont un couple (probabilité - gravité) correspondant à une case « MMR » dans le tableau du sous-paragraphe « Grille d'analyse de la justification... » p129, et aucun accident n'est situé dans une case « NON »

Il convient de vérifier que l'exploitant a analysé toutes les mesures de maîtrise du risque envisageables et mis en oeuvre celles dont le coût n'est pas disproportionné par rapport aux bénéfices attendus, soit en termes de sécurité globale de l'installation, soit en termes de sécurité pour les intérêts visés à l'article L. 511-1 du code de l'environnement [en référence à l'article R. 512-9 du code de l'environnement].

En pratique, ce critère n'est possible que pour les accidents de classe de probabilité E.

Pour les ateliers et installations existant déjà le 29 septembre 2005 dans les établissements, on ne comptabilisera à ce titre que les accidents classés « MMR rang 2 » du fait du nombre de personnes exposées à des effets létaux, à l'exclusion des accidents classés « MMR rang 2 » en raison d'effets irréversibles.

Situation n° 3 : aucun accident n'est situé dans une case comportant le mot « NON » ou le sigle « MMR ».

Le risque résiduel, compte tenu des mesures de maîtrise du risque, est modéré et n'implique pas d'obligation de réduction complémentaire du risque d'accident au titre des installations classées.

C. En outre, pour les établissements AS faisant l'objet d'une demande d'autorisation pour une extension ou une modification qui conduirait à augmenter globalement les risques en dehors des limites de l'établissement, cet accroissement des risques doit, dans la mesure du possible ne pas exposer à des effets potentiellement létaux des personnes, situées à l'extérieur de l'établissement, qui ne l'étaient pas auparavant. A défaut, l'exploitant doit disposer des mesures techniques de maîtrise des risques permettant de conserver le niveau de probabilité de chaque accident dans sa même classe de probabilité lorsque, pour chacun des scénarios menant à cet accident, la probabilité de défaillance de la mesure de maîtrise des risques de plus haut niveau de confiance s'opposant à ce scénario est portée à 1 (ce qui est équivalent à ramener le niveau de confiance à zéro).

D. Les règles énoncées ci-dessus ne sont pas valables pour les installations relevant du régime de la pyrotechnie (le volume des activités relevant des rubriques 1310 à 1313 de la nomenclature des installations classées justifie à lui seul le classement sous le régime d'autorisation avec servitudes) qui font l'objet de règles spécifiques que vous pourrez trouver au sous-paragraphe « Secteur de la pyrotechnie » p 135 ci-dessous. Pour mémoire, elles ne sont pas non plus valables pour les installations de stockage de gaz souterrain.

Appréciation de la démarche de réduction du risque à la source

Règles générales

Grille d'analyse de la justification par l'exploitant des mesures de maîtrise du risque en termes de couple probabilité – gravité des conséquences sur les personnes physiques correspondant à des intérêts visés à l'article L. 511-1 du code de l'environnement

Grille d'analyse de la justification par l'exploitant des mesures de maîtrise du risque en termes de couple probabilité – gravité des conséquences sur les personnes physiques correspondant à des intérêts visés à l'article L.511-1 du code de l'environnement

GRAVITÉ des conséquences	PROBABILITÉ (sens croissant de E vers A)				
	E	D	C	B	A
Désastreux	NON partiel (établissements nouveaux : note 2) / MMR rang 2 (établissements existants : note 3)	NON Rang 1	NON Rang 2	NON Rang 3	NON Rang 4
Catastrophique	MMR Rang 1	MMR Rang 2 (note 3)	NON Rang 1	NON Rang 2	NON Rang 3
Important	MMR Rang 1	MMR Rang 1	MMR Rang 2 (note 3)	NON Rang 1	NON Rang 2
Sérieux			MMR Rang 1	MMR Rang 2	NON Rang 1
Modéré					MMR Rang 1

Note 1 : probabilité et gravité des conséquences sont évaluées conformément à l'arrêté ministériel relatif à l'évaluation et à la prise en compte de la probabilité d'occurrence, de la cinétique, de l'intensité des effets et de la gravité des conséquences des accidents potentiels dans les études de dangers des installations classées soumises à autorisation.

Note 2 : l'exploitant doit disposer des mesures techniques de maîtrise des risques de façon à ce que le niveau de probabilité de l'accident soit maintenu dans cette même classe de probabilité lorsque, pour chacun des scénarios y menant, la probabilité de défaillance de la mesure de maîtrise des risques de plus haut niveau de confiance s'opposant à ce scénario est portée à 1.

Note 3 : s'il s'agit d'une demande d'autorisation « AS » pour extension ou modification d'un établissement existant, il faut également vérifier le critère cité au C du sous-paragraphe « critères d'appréciation de la justification par l'exploitant de la maîtrise du risque accidentel... » p127 ci-dessus.

TYPE DE CAUSES	Fréquence d'occurrence par an		
	LOPA ⁽¹⁾	HSE ⁽²⁾⁽³⁾	INERIS DRA41 ⁽⁴⁾
CAUSES NATURELLES			
foudre	10^{-3} à 10^{-4} 1.10^{-3}	1.10^{-7}	Dépend contexte local
Tremblement de terre pouvant entraîner rupture de canalisations		10^{-6} à 10^{-7}	Séisme : Dépend contexte local
Inondation			Dépend contexte local
CAUSES EXTERNES			
Sabotage, terrorisme	Pas possible de donner des valeurs		
Chute d'avions			F4 $10^{-5} \leq P < 10^{-4}$
CAUSES INTERNES			
Causes internes « génériques »			
Défaillance résiduelle d'un réservoir sous pression	10^{-5} à 10^{-7} 1.10^{-6}	1.10^{-5}	
Rupture catastrophique de réservoirs		3.10^{-6}	
Défaillance réservoir atmosphérique	10^{-3} à 10^{-5} 1.10^{-3}		
Défaillance de canalisation – 100 m – rupture guillotine	10^{-5} à 10^{-6} 1.10^{-5}		
Fuite sur canalisation (10% de section équivalente) – 100 m	10^{-3} à 10^{-4} 1.10^{-3}		
Enlèvement joint ou garniture	10^{-2} à 10^{-6} 1.10^{-2}		F2 $10^{-3} \leq P < 10^{-2}$
Défaillance flexible (dé)chargement			F1 $10^{-2} \leq P < 10^{-1}$
Feu de garniture		2.10^{-4} / équip.an	
Fente périphérique sans inflammation		3.10^{-4} / équip.an	
Fente périphérique avec explosion		$< 3.10^{-5}$ / équip.an	

Intervention externe			
Intervention d'un tiers (impact par véhicule, etc)	10^{-2} à 10^{-4} 1.10^{-2}		F3 $10^{-4} \leq P < 10^{-3}$
Chute de grue	10^{-3} à 10^{-4} /op. levage 1.10^{-4} /op. levage		F2 $10^{-3} \leq P < 10^{-2}$
Feu externe de faible ampleur	10^{-1} à 10^{-2} 1.10^{-1}		F1 $10^{-2} \leq P < 10^{-1}$
Feu externe de grande ampleur	10^{-2} à 10^{-3} 1.10^{-2}		F2 $10^{-3} \leq P < 10^{-2}$
Causes internes procédé			
Survitesse sur moteur ou turbine entraînant brèche dans le casing	10^{-3} à 10^{-4} 1.10^{-4}		
Ouverture intempestive d'une soupape	10^{-2} à 10^{-4} 1.10^{-2}		
Défaillance du circuit de refroidissement eau	10^{-1} à 10^{-2} 1.10^{-1}		
Perte générale d'utilité			F1 $10^{-2} \leq P < 10^{-1}$
Défaillance boucle du BPCS (Basic Process Control System)	1 à 10^{-2} 1.10^{-1}		F1 $10^{-2} \leq P < 10^{-1}$
Défaillance régulateur	1 à 10^{-1} 1.10^{-1}		F1 $10^{-2} \leq P < 10^{-1}$
Défaillance d'un capteur de niveau		$50.10^{-6}/h$	
Défaillance d'un capteur de débit		$40.10^{-6}/h$	
Défaillance dans procédure LOTO	10^{-3} à 10^{-4} /opération 1.10^{-3} /opération		
ERREUR HUMAINE			
Erreur opérateur (procédure de routine, bien entraîné, sans stress ni fatigue)	10^{-1} à 10^{-3} /opération 1.10^{-2} /opération		
Erreur opératoire			F2 $10^{-3} \leq P < 10^{-2}$

(1) : la première ligne est un intervalle issu de la littérature ; le deuxième est un exemple de chiffre retenu par une entreprise pour application du LOPA.

(2) : extrait du HSE : Safety Report Assessment Guide (chlore et GPL).

(3) : extrait du HSE : Planning Case Assessment Guide.

(4) : rapport INERIS – DRA41 – Appui technique pour la mise en œuvre des PPRT – note de réflexion sur l'estimation de la probabilité des scénarios d'accidents dans le cadre des PPRT expérimentaux du 18 juin 2004.

EDD - ANNEXE 4. MÉTHODOLOGIE FLUX THERMIQUE

MODELISATION DES EFFETS THERMIQUES

EXTRAIT GTDLI

- **Facteur de vue plan vertical :**

Dans la littérature, il n'existe qu'une seule corrélation permettant de calculer le facteur de vue plan. Cette corrélation est fonction des dimensions du « mur » de flamme, ainsi que de la distance entre la cible et la flamme. Elle est présentée dans les rapports [1], [2] et [6].

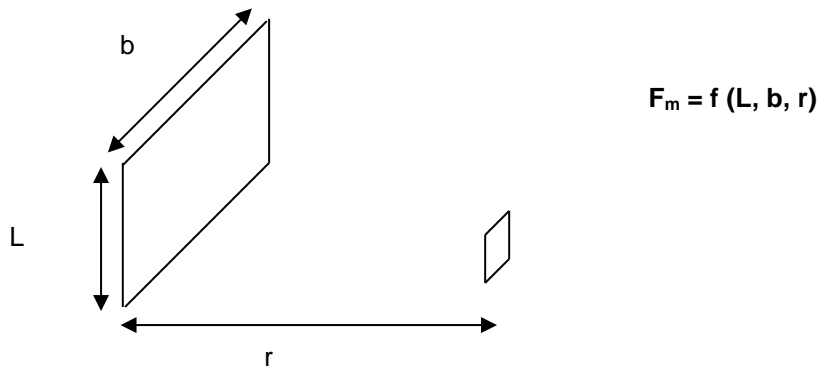


Figure 1

Cette corrélation correspond à la configuration d'un vent nul.

$$X=L/r \quad Y=b/r$$

$$F_v = \frac{1}{2\pi} \left[\frac{X}{\sqrt{1+X^2}} \operatorname{Arctg} \left(\frac{Y}{\sqrt{1+X^2}} \right) + \frac{Y}{\sqrt{1+Y^2}} \operatorname{Arctg} \left(\frac{X}{\sqrt{1+Y^2}} \right) \right]$$

$$X=L/b \quad Y=r/b$$

$$A = \frac{1}{\sqrt{X^2 + Y^2}}$$

$$F_h = \frac{1}{2\pi} \left(\operatorname{Arctg} \frac{1}{Y} - A \cdot Y \cdot \operatorname{Arctg} A \right)$$

- **Données météo :**

- Humidité relative de l'air : 70 %
- Température 15° C
- Vitesse de vent : 5 m/s
- Masse volumique de l'air : 1,161 kg/m³

- **Données Produits :**

De manière conservatrice, les distances d'effets pour tous les hydrocarbures liquides (gazole, FOD,...) sont calculées en considérant la combustion d'essence dont le débit de combustion est pris égal à 0,055 kg/m².s. Le débit de combustion est pris égal à 0,025 kg/m².s pour l'éthanol, et 0,03 kg/m².s pour l'éthanol sous bois.

- **Corrélations du modèle :**

• Diamètre équivalent :

Pour un feu de nappe circulaire :

$$Deq = \text{Diamètre de la nappe en feu}$$

Pour un feu de forme rectangulaire :

$$Deq = 4 S / P \text{ si la Longueur} < 2,5 \times \text{largeur}$$

$$Deq = \text{largeur si la Longueur} > 2,5 \times \text{largeur}$$

Pour un feu de nappe de forme quelconque :

$$Deq = 4 S / P$$

avec :

S et P correspondant respectivement à la surface brute (surface avec bacs) et au périmètre de la cuvette en feu,

Longueur et largeur correspondant respectivement à la Longueur et largeur de la surface en feu

• Hauteur de flamme :

Formule de Thomas avec un vent de 5 m/s :

$$L = 19,18 \times m^{0,74} Deq^{0,735}$$

avec $m = 0,055 \text{ kg/m}^2 \cdot \text{s}$ (valeur retenue pour les hydrocarbures liquides)

• Angle d'inclinaison de la flamme

Corrélation de Welker and Sliepcewich :

$$\frac{\tan \xi}{\cos \xi} = 3,3 \times (Fr)^{0,8} \times (Re)^{0,07} \times \left(\frac{\rho_v}{\rho_{air}} \right)^{-0,6}$$

avec :

Fr: Nombre de Froude

$$Fr = \frac{u_w^2}{Deq \times g}$$

Re: Nombre de Reynolds

$$Re = \frac{Deq \times u_w \times \rho_{air}}{\mu_{air}}$$

ρ_v : Masse spécifique du produit en phase vapeur, à sa température d'ébullition (2.56 kg/m³ pour essence)

ρ_{air} : Masse volumique de l'air : 1,161 kg/m³

μ_{air} : viscosité dynamique de l'air ambiant (1.9 x 10⁻⁵ (kg.m⁻¹.s⁻¹))

• Pouvoir émissif :

Corrélation de Mudan and Croce :

$$Emoy = 120e^{-0.12D} + 20 \text{ pour les hydrocarbures}$$

$$Emoy = 37,5e^{-0.15D} + 31 \text{ pour les alcools.}$$

• Coefficient d'atténuation atmosphérique :

Corrélation de Bagster :

$$\Gamma(r) = 2,02 \times (HR \times TVAP(H_2O) \times r)^{-0,09}$$

TVAP(H₂O)=1665 Pa à 15°C

HR= 70 %

EXTRAIT FAQ – FLUMILOG

Pour répondre à une problématique récurrente de présence de liquides inflammables au sein de cellules de stockage, un nouveau module a été ajouté à la méthode Flumilog.

Elle permet désormais de calculer des incendies de cellules contenant ce type de produits, assimilés soit à des hydrocarbures, soit à des alcools.

Toutefois, pour ces combustibles la procédure de calcul diffère de celle utilisée pour les combustibles solides, les hypothèses considérées pour les combustibles solides résultant d'interprétations d'essais feux réels. En effet, la mise en place de cette fonctionnalité de calcul répond à un besoin spécifique : celui de réaliser des sommes de flux thermiques provenant de cellules de combustibles solides et de flux thermiques provenant de cellules de combustibles liquides. Ces derniers flux sont obtenus selon les hypothèses de la feuille de calcul du GTDLi annexée à la Circulaire DPPR/SEI2/AL- 06- 357 du 31/01/07 relative aux études de dangers des dépôts de liquides inflammables.

Dans la présente méthode et dans le cadre d'hypothèses pénalisantes, les liquides inflammables sont supposés brûler à pleine puissance sur une surface donnée pendant une durée forfaitaire dépendant du cas de propagation étudié, et selon certaines hypothèses de vitesse de combustion, de hauteur de flamme et d'émission de flamme explicitées dans cette note. L'intérêt de cette nouvelle fonctionnalité est de réaliser les sommes de flux au cours de calculs "hybrides" mêlant combustibles liquides et solides de façon automatique et homogène suivant les utilisateurs.

1.1 CALCUL DES CARACTERISTIQUES DU COMBUSTIBLE

1.1.1 SURFACE DE COMBUSTIBLE

Pour les liquides inflammables, de manière similaire aux combustibles solides, la méthode Flumilog demande d'entrer la configuration de stockage (longueur de stockage, dépôts, dimension de racks ou d'ilots etc.). Cependant, il est important de noter que, contrairement aux feux de solides, les combustibles liquides sont supposés occuper toute la surface de la cellule au cours du calcul de sorte à obtenir un feu de nappe généralisé à l'ensemble de la surface la cellule. Ainsi, quelle que soit la configuration géométrique de stockage entrée par l'utilisateur, la nappe est supposée occuper toute la surface au sol de la cellule. Les dimensions d'ilot, de racks ou de palettes n'ont aucune influence sur les résultats. Il est à remarquer que, lorsque la longueur de la cellule est supérieure à 2,5 fois la largeur de celle-ci, alors le diamètre équivalent est pris égal à la largeur de la cellule. Toutes les grandeurs physiques présentées sont constantes dans le temps.

1.1.2 VITESSE DE COMBUSTION DES COMBUSTIBLES

De manière homogène à la feuille de calcul du GTDLi, la vitesse de combustion des combustibles liquides est forfaitairement égale à 55 g/m²/s pour les hydrocarbures et 25 g/m²/s pour les alcools.

Conformément aux hypothèses de la feuille de calcul du GTDLi, aucune limitation de hauteur n'est appliquée pour les liquides inflammables.

1.2.2 EMISSION DE FLAMME

L'émission de flamme est calculée à l'aide de la corrélation de Mudan et Croce et s'exprime en kW/m² :

$$E_{mcy} = 120e^{-0.12D} + 20 \text{ pour les hydrocarbures,}$$

$$E_{mcy} = 37,5e^{-0.15D} + 31 \text{ pour les alcools.}$$

Elle est limitée en valeur inférieure à 30 kW/m².

L'émission est ensuite considérée comme homogène sur toute la hauteur de la flamme.

1.3 CALCUL DE LA PUISSANCE DE L'INCENDIE

La puissance de l'incendie est obtenue par la formule :

$$P = \dot{m} \Delta H_c S_{flamme}$$

où ΔH_c est la chaleur de combustion prise égale à 40 MJ/kg pour les hydrocarbures et 27,8 MJ/kg pour l'éthanol, et S_{flamme} la surface de flammes égale à la surface au sol de la zone considérée en feu.

1.4 DUREE D'INCENDIE

Lorsque la cellule de combustibles liquides est la cellule de départ de feu dans un scénario de propagation d'incendie, alors la durée de feu est forfaitairement égale à une valeur légèrement inférieure à 240 minutes. Ainsi un mur de degré REI240 restera en place durant l'incendie d'une telle cellule.

En revanche, la durée d'incendie est forfaitairement égale à une valeur légèrement inférieure à 120 minutes dans le cas d'une cellule seule, d'un stockage extérieur ou d'une cellule n'étant pas celle du départ de feu dans le cas d'un calcul de propagation d'incendie. Ainsi, un mur de degré REI120 restera en place durant l'incendie d'une telle cellule. Il est important de noter que, dans ce cas, la durée d'incendie peut s'avérer minimisée dans la méthode Flumilog par rapport à la réalité.

1.2 CALCUL DES CARACTERISTIQUES DE FLAMME

1.2.1 HAUTEUR DE FLAMME

La longueur de flamme est obtenue à l'aide de la corrélation de Thomas avec prise en compte du vent selon la formule suivante :

$$L_{jlo} = 55 D \left(\frac{\dot{m}''}{\rho_{air} \sqrt{gD}} \right)^{0.87} * U^{-0.21}$$

avec

$$U^* = \frac{u_w}{U_c},$$

u_w étant la vitesse du vent,

et

$$U_c = \left(\frac{g \dot{m}'' D}{\rho_{air}} \right)^{1/5}$$

Conformément au GTDLi, la valeur de la vitesse du vent est fixée à 5 m/s. L'angle d'inclinaison de la flamme est également donné par la relation empirique de Thomas :

La corrélation permettant de déterminer l'angle d'inclinaison Θ de la flamme est la corrélation de Welker and Slepceovich, présentée ci-dessous :

$$\frac{\tan \Theta}{\cos \Theta} = 3.3 \times (Fr)^{0.8} \times (Re)^{0.17} \times \left(\frac{\rho_v}{\rho_{air}} \right)^{-1.8},$$

avec ρ_v la masse volumique du produit en phase vapeur à sa température d'ébullition, Fr le nombre de Froude :

$$Fr = \frac{u_w^2}{D \times g},$$

Re le nombre de Reynolds :

$$Re = \frac{D \times u_w \times \rho_{air}}{\mu_{air}},$$

μ_{air} la viscosité dynamique de l'air.

Finalement, la hauteur H_{fla} de flamme est obtenue d'après la relation :

$$H_{jlo} = L_{jlo} \cos \Theta$$

EDD - ANNEXE 5. MODÉLISATIONS FLUMILOG

FLUMilog

Interface graphique v.5.5.0.0
Outil de calculV5.52

Flux Thermiques Détermination des distances d'effets

Utilisateur :	Baptiste Albina
Société :	ENVIRONNEMENTXO
Nom du Projet :	ChaiA6AMED_1655374123
Cellule :	ChaiA6
Commentaire :	AMED
Création du fichier de données d'entrée :	16/06/2022 à12:04:42avec l'interface graphique v. 5.5.0.0
Date de création du fichier de résultats :	16/6/22

I. DONNEES D'ENTREE :

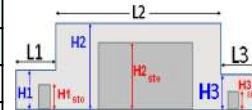
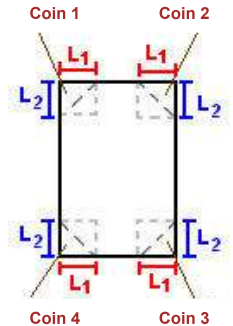
Donnée Cible

Hauteur de la cible : 4,5 m

Géométrie Cellule1

Nom de la Cellule :Cellule n°1			
Longueur maximum de la cellule (m)	6,2		
Largeur maximum de la cellule (m)	18,0		
Hauteur maximum de la cellule (m)	5,0		
Coin 1	non tronqué	L1 (m)	0,0
		L2 (m)	0,0
Coin 2	non tronqué	L1 (m)	0,0
		L2 (m)	0,0
Coin 3	non tronqué	L1 (m)	0,0
		L2 (m)	0,0
Coin 4	non tronqué	L1 (m)	0,0
		L2 (m)	0,0

Hauteur complexe			
	1	2	3
L (m)	0,0	0,0	0,0
H (m)	0,0	0,0	0,0
H sto (m)	0,0	0,0	0,0



Toiture

Résistance au feu des poutres (min)	30
Résistance au feu des pannes (min)	30
Matériaux constituant la couverture	Fibrociment
Nombre d'exutoires	0
Longueur des exutoires (m)	3,0
Largeur des exutoires (m)	2,0

FLUMilog

Interface graphique v.5.5.0.0
Outil de calculV5.52

Flux Thermiques Détermination des distances d'effets

Utilisateur :	Baptiste Albina
Société :	ENVIRONNEMENTXO
Nom du Projet :	ChaiD9AMED_1655367767
Cellule :	ChaiD9
Commentaire :	AMED
Création du fichier de données d'entrée :	16/06/2022 à10:22:23avec l'interface graphique v. 5.5.0.0
Date de création du fichier de résultats :	16/6/22

I. DONNEES D'ENTREE :

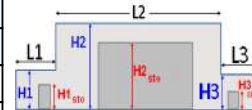
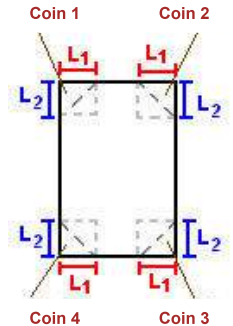
Donnée Cible

Hauteur de la cible : 5,0 m

Géométrie Cellule1

Nom de la Cellule :Cellule n°1			
Longueur maximum de la cellule (m)	6,1		
Largeur maximum de la cellule (m)	14,1		
Hauteur maximum de la cellule (m)	4,5		
Coin 1	non tronqué	L1 (m)	0,0
		L2 (m)	0,0
Coin 2	non tronqué	L1 (m)	0,0
		L2 (m)	0,0
Coin 3	non tronqué	L1 (m)	0,0
		L2 (m)	0,0
Coin 4	non tronqué	L1 (m)	0,0
		L2 (m)	0,0

Hauteur complexe			
	1	2	3
L (m)	0,0	0,0	0,0
H (m)	0,0	0,0	0,0
H sto (m)	0,0	0,0	0,0



Toiture

Résistance au feu des poutres (min)	30
Résistance au feu des pannes (min)	30
Matériaux constituant la couverture	Fibrociment
Nombre d'exutoires	0
Longueur des exutoires (m)	3,0
Largeur des exutoires (m)	2,0

FLUMilog

Interface graphique v.5.5.0.0
Outil de calculV5.52

Flux Thermiques Détermination des distances d'effets

Utilisateur :	Baptiste Albina
Société :	ENVIRONNEMENTXO
Nom du Projet :	Chai3456AMED
Cellule :	Chai3456
Commentaire :	AMED
Création du fichier de données d'entrée :	14/06/2022 à 12:24:10 avec l'interface graphique v. 5.5.0.0
Date de création du fichier de résultats :	14/6/22

I. DONNEES D'ENTREE :

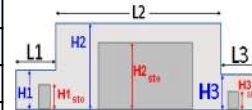
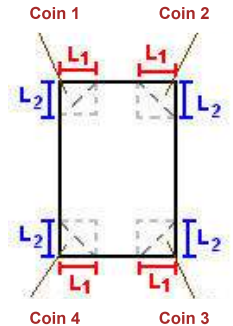
Donnée Cible

Hauteur de la cible : 3,7 m

Géométrie Cellule1

Nom de la Cellule : Cellule n°1			
Longueur maximum de la cellule (m)	6,0		
Largeur maximum de la cellule (m)	47,2		
Hauteur maximum de la cellule (m)	4,1		
Coin 1	non tronqué	L1 (m)	0,0
		L2 (m)	0,0
Coin 2	non tronqué	L1 (m)	0,0
		L2 (m)	0,0
Coin 3	non tronqué	L1 (m)	0,0
		L2 (m)	0,0
Coin 4	non tronqué	L1 (m)	0,0
		L2 (m)	0,0

Hauteur complexe			
	1	2	3
L (m)	0,0	0,0	0,0
H (m)	0,0	0,0	0,0
H sto (m)	0,0	0,0	0,0



Toiture

Résistance au feu des poutres (min)	30
Résistance au feu des pannes (min)	30
Matériaux constituant la couverture	Fibrociment
Nombre d'exutoires	0
Longueur des exutoires (m)	3,0
Largeur des exutoires (m)	2,0

FLUMilog

Interface graphique v.5.5.0.0
Outil de calculV5.52

Flux Thermiques Détermination des distances d'effets

Utilisateur :	Baptiste Albina
Société :	ENVIRONNEMENTXO
Nom du Projet :	ChaiA1A2A3A4AMED
Cellule :	ChaiA1A2A3A4
Commentaire :	AMED
Création du fichier de données d'entrée :	14/06/2022 à 12:17:02 avec l'interface graphique v. 5.5.0.0
Date de création du fichier de résultats :	14/6/22

I. DONNEES D'ENTREE :

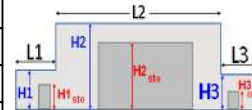
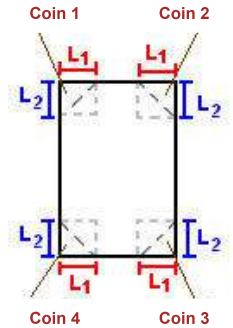
Donnée Cible

Hauteur de la cible : 4,1 m

Géométrie Cellule1

Nom de la Cellule : Cellule n°1			
Longueur maximum de la cellule (m)	23,9		
Largeur maximum de la cellule (m)	41,0		
Hauteur maximum de la cellule (m)	3,7		
Coin 1	non tronqué	L1 (m)	0,0
		L2 (m)	0,0
Coin 2	non tronqué	L1 (m)	0,0
		L2 (m)	0,0
Coin 3	non tronqué	L1 (m)	0,0
		L2 (m)	0,0
Coin 4	non tronqué	L1 (m)	0,0
		L2 (m)	0,0

Hauteur complexe			
	1	2	3
L (m)	0,0	0,0	0,0
H (m)	0,0	0,0	0,0
H sto (m)	0,0	0,0	0,0



Toiture

Résistance au feu des poutres (min)	30
Résistance au feu des pannes (min)	30
Matériaux constituant la couverture	Fibrociment
Nombre d'exutoires	0
Longueur des exutoires (m)	3,0
Largeur des exutoires (m)	2,0

FLUMilog

Interface graphique v.5.5.0.0
Outil de calculV5.52

Flux Thermiques Détermination des distances d'effets

Utilisateur :	Baptiste Albina
Société :	ENVIRONNEMENTXO
Nom du Projet :	ChaiABAMED
Cellule :	ChaiAB
Commentaire :	AMED
Création du fichier de données d'entrée :	14/06/2022 à 13:07:28 avec l'interface graphique v. 5.5.0.0
Date de création du fichier de résultats :	14/6/22

I. DONNEES D'ENTREE :

Donnée Cible

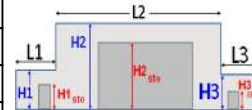
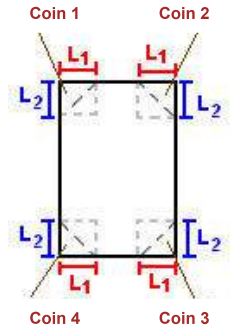
Hauteur de la cible : 4,3 m

Données murs entre cellules

REI C1/C2 : 1 min

Géométrie Cellule1

Nom de la Cellule : Cellule n°1			
Longueur maximum de la cellule (m)	8,3		
Largeur maximum de la cellule (m)	17,3		
Hauteur maximum de la cellule (m)	5,0		
Coin 1	non tronqué	L1 (m)	0,0
		L2 (m)	0,0
Coin 2	non tronqué	L1 (m)	0,0
		L2 (m)	0,0
Coin 3	non tronqué	L1 (m)	0,0
		L2 (m)	0,0
Coin 4	non tronqué	L1 (m)	0,0
		L2 (m)	0,0
Hauteur complexe			
	1	2	3
L (m)	0,0	0,0	0,0
H (m)	0,0	0,0	0,0
H sto (m)	0,0	0,0	0,0



Toiture

Résistance au feu des poutres (min)	30
Résistance au feu des pannes (min)	30
Matériaux constituant la couverture	Fibrociment
Nombre d'exutoires	0
Longueur des exutoires (m)	3,0
Largeur des exutoires (m)	2,0

Stockage de la cellule : Cellule n°2

Mode de stockage **LI**
 Masse totale de liquides inflammables **22** t



Palette type de la cellule Cellule n°2

Dimensions Palette

Longueur de la palette : **Sans Objet**
 Largeur de la palette : **Sans Objet**
 Hauteur de la palette : **Sans Objet**
 Volume de la palette : **Sans Objet**
 Nom de la palette : **Ethanol**

Poids total de la palette : **Par défaut**

Composition de la Palette (Masse en kg)

NC	NC	NC	NC	NC	NC	NC
0,0	0,0	0,0	0,0	0,0	0,0	0,0

NC	NC	NC	NC	NC	NC	NC
0,0	0,0	0,0	0,0	0,0	0,0	0,0

NC	NC	NC	NC
0,0	0,0	0,0	0,0

Données supplémentaires

Durée de combustion de la palette : **Sans Objet**
 Puissance dégagée par la palette : **Sans Objet**

Merlons



Merlon n°	Hauteur (m)	Coordonnées du premier point		Coordonnées du deuxième point	
		X1 (m)	Y1 (m)	X2 (m)	Y2 (m)
1	0,0	0,0	0,0	0,0	0,0
2	0,0	0,0	0,0	0,0	0,0
3	0,0	0,0	0,0	0,0	0,0
4	0,0	0,0	0,0	0,0	0,0
5	0,0	0,0	0,0	0,0	0,0
6	0,0	0,0	0,0	0,0	0,0
7	0,0	0,0	0,0	0,0	0,0
8	0,0	0,0	0,0	0,0	0,0
9	0,0	0,0	0,0	0,0	0,0
10	0,0	0,0	0,0	0,0	0,0
11	0,0	0,0	0,0	0,0	0,0
12	0,0	0,0	0,0	0,0	0,0
13	0,0	0,0	0,0	0,0	0,0
14	0,0	0,0	0,0	0,0	0,0
15	0,0	0,0	0,0	0,0	0,0
16	0,0	0,0	0,0	0,0	0,0
17	0,0	0,0	0,0	0,0	0,0
18	0,0	0,0	0,0	0,0	0,0
19	0,0	0,0	0,0	0,0	0,0
20	0,0	0,0	0,0	0,0	0,0

II. RESULTATS :

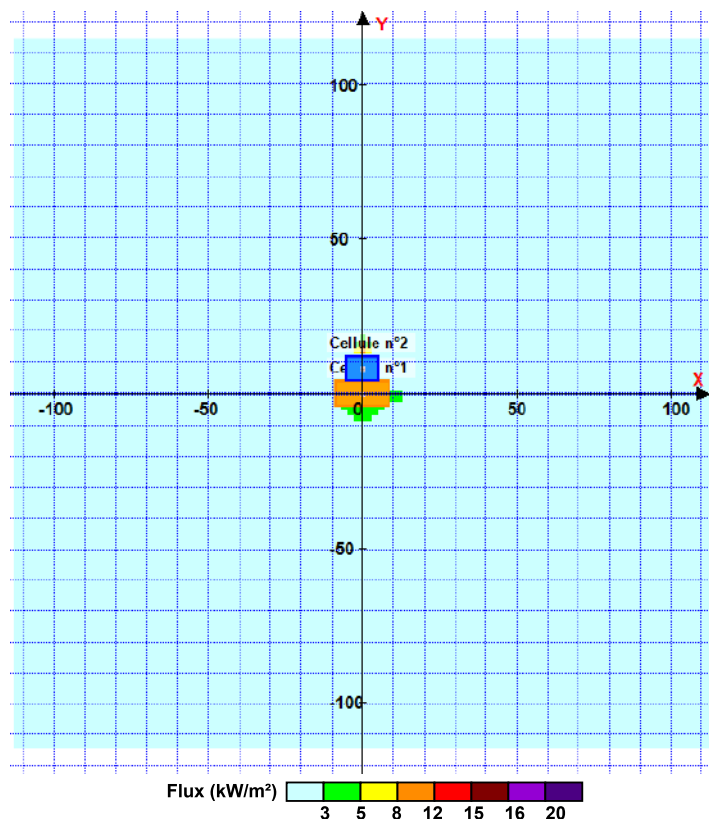
Départ de l'incendie dans la cellule : Cellule n°1

La cinétique de l'incendie n'est pas calculée pour les liquides inflammables.

Durée indicative de l'incendie dans la cellule LI : Cellule n°1 139,3 min (durée de combustion calculée)

Durée indicative de l'incendie dans la cellule LI : Cellule n°2 166,7 min (durée de combustion calculée)

Distance d'effets des flux maximum



Avertissement: Dans le cas d'un scénario de propagation, l'interface de calcul Flumilog ne vérifie pas la cohérence entre les saisies des caractéristiques des parois de chaque cellule et la saisie de tenue au feu des parois séparatives indiquée en page 2 de la note de calcul.

Pour information : Dans l'environnement proche de la flamme, le transfert convectif de chaleur ne peut être négligé. Il est donc préconisé pour de faibles distances d'effets comprises entre 1 et 5 m de retenir une distance d'effets de 5 m et pour celles comprises entre 6 m et 10 m de retenir 10 m.

FLUMilog

Interface graphique v.5.5.0.0

Outil de calcul V5.52

Flux Thermiques Détermination des distances d'effets

Utilisateur :	Baptiste Albina
Société :	ENVIRONNEMENTXO
Nom du Projet :	Distillerie1AMED
Cellule :	Distillerie1
Commentaire :	AMED
Création du fichier de données d'entrée :	14/06/2022 à 16:25:02 avec l'interface graphique v. 5.5.0.0
Date de création du fichier de résultats :	14/6/22

Stockage de la cellule : Cellule n°1

Mode de stockage **LI**
 Masse totale de liquides inflammables **19 t**



Palette type de la cellule Cellule n°1

Dimensions Palette

Longueur de la palette : **Sans Objet**
 Largeur de la palette : **Sans Objet**
 Hauteur de la palette : **Sans Objet**
 Volume de la palette : **Sans Objet**
 Nom de la palette : **Ethanol** Poids total de la palette : **Par défaut**

Composition de la Palette (Masse en kg)

NC	NC	NC	NC	NC	NC	NC
0,0	0,0	0,0	0,0	0,0	0,0	0,0

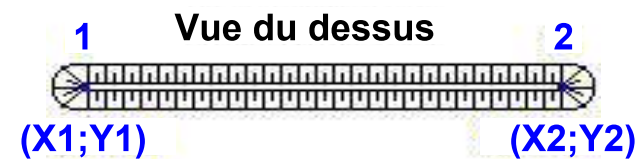
NC	NC	NC	NC	NC	NC	NC
0,0	0,0	0,0	0,0	0,0	0,0	0,0

NC	NC	NC	NC
0,0	0,0	0,0	0,0

Données supplémentaires

Durée de combustion de la palette : **Sans Objet**
 Puissance dégagée par la palette : **Sans Objet**

Merlons



Merlon n°	Hauteur (m)	Coordonnées du premier point		Coordonnées du deuxième point	
		X1 (m)	Y1 (m)	X2 (m)	Y2 (m)
1	0,0	0,0	0,0	0,0	0,0
2	0,0	0,0	0,0	0,0	0,0
3	0,0	0,0	0,0	0,0	0,0
4	0,0	0,0	0,0	0,0	0,0
5	0,0	0,0	0,0	0,0	0,0
6	0,0	0,0	0,0	0,0	0,0
7	0,0	0,0	0,0	0,0	0,0
8	0,0	0,0	0,0	0,0	0,0
9	0,0	0,0	0,0	0,0	0,0
10	0,0	0,0	0,0	0,0	0,0
11	0,0	0,0	0,0	0,0	0,0
12	0,0	0,0	0,0	0,0	0,0
13	0,0	0,0	0,0	0,0	0,0
14	0,0	0,0	0,0	0,0	0,0
15	0,0	0,0	0,0	0,0	0,0
16	0,0	0,0	0,0	0,0	0,0
17	0,0	0,0	0,0	0,0	0,0
18	0,0	0,0	0,0	0,0	0,0
19	0,0	0,0	0,0	0,0	0,0
20	0,0	0,0	0,0	0,0	0,0

II. RESULTATS :

Départ de l'incendie dans la cellule : **Cellule n°1**

La cinétique de l'incendie n'est pas calculée pour les liquides inflammables.

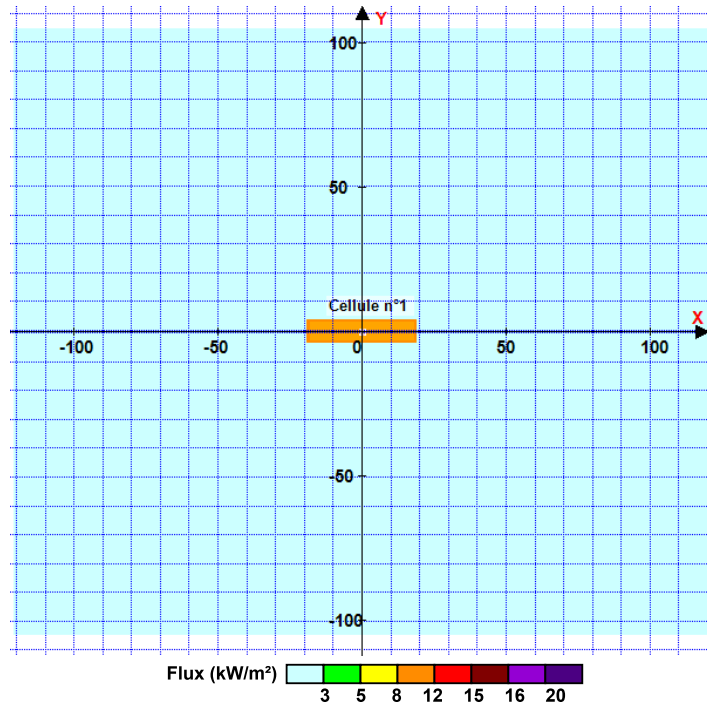
Durée indicative de l'incendie dans la cellule LI : Cellule n°1 **45,3** min (durée de combustion calculée)



Interface graphique v.5.5.0.0
Outil de calculV5.52

**Flux Thermiques
Détermination des distances d'effets**

Distance d'effets des flux maximum



Pour information : Dans l'environnement proche de la flamme, le transfert convectif de chaleur ne peut être négligé. Il est donc préconisé pour de faibles distances d'effets comprises entre 1 et 5 m de retenir une distance d'effets de 5 m et pour celles comprises entre 6 m et 10 m de retenir 10 m.

Utilisateur :	Baptiste Albina
Société :	ENVIRONNEMENTXO
Nom du Projet :	Distillerie2AMED
Cellule :	Distillerie2
Commentaire :	AMED
Création du fichier de données d'entrée :	14/06/2022 à 16:29:20 avec l'interface graphique v. 5.5.0.0
Date de création du fichier de résultats :	14/6/22

Stockage de la cellule : Cellule n°1

Mode de stockage **LI**
 Masse totale de liquides inflammables **10 t**



Palette type de la cellule Cellule n°1

Dimensions Palette

Longueur de la palette : **Sans Objet**
 Largeur de la palette : **Sans Objet**
 Hauteur de la palette : **Sans Objet**
 Volume de la palette : **Sans Objet**
 Nom de la palette : **Ethanol** Poids total de la palette : **Par défaut**

Composition de la Palette (Masse en kg)

NC	NC	NC	NC	NC	NC	NC
0,0	0,0	0,0	0,0	0,0	0,0	0,0

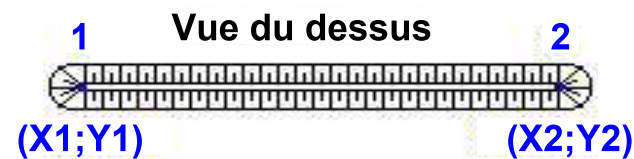
NC	NC	NC	NC	NC	NC	NC
0,0	0,0	0,0	0,0	0,0	0,0	0,0

NC	NC	NC	NC
0,0	0,0	0,0	0,0

Données supplémentaires

Durée de combustion de la palette : **Sans Objet**
 Puissance dégagée par la palette : **Sans Objet**

Merlons



Merlon n°	Hauteur (m)	Coordonnées du premier point		Coordonnées du deuxième point	
		X1 (m)	Y1 (m)	X2 (m)	Y2 (m)
1	0,0	0,0	0,0	0,0	0,0
2	0,0	0,0	0,0	0,0	0,0
3	0,0	0,0	0,0	0,0	0,0
4	0,0	0,0	0,0	0,0	0,0
5	0,0	0,0	0,0	0,0	0,0
6	0,0	0,0	0,0	0,0	0,0
7	0,0	0,0	0,0	0,0	0,0
8	0,0	0,0	0,0	0,0	0,0
9	0,0	0,0	0,0	0,0	0,0
10	0,0	0,0	0,0	0,0	0,0
11	0,0	0,0	0,0	0,0	0,0
12	0,0	0,0	0,0	0,0	0,0
13	0,0	0,0	0,0	0,0	0,0
14	0,0	0,0	0,0	0,0	0,0
15	0,0	0,0	0,0	0,0	0,0
16	0,0	0,0	0,0	0,0	0,0
17	0,0	0,0	0,0	0,0	0,0
18	0,0	0,0	0,0	0,0	0,0
19	0,0	0,0	0,0	0,0	0,0
20	0,0	0,0	0,0	0,0	0,0

II. RESULTATS :

Départ de l'incendie dans la cellule : **Cellule n°1**

La cinétique de l'incendie n'est pas calculée pour les liquides inflammables.

Durée indicative de l'incendie dans la cellule LI : Cellule n°1 **28,4** min (durée de combustion calculée)

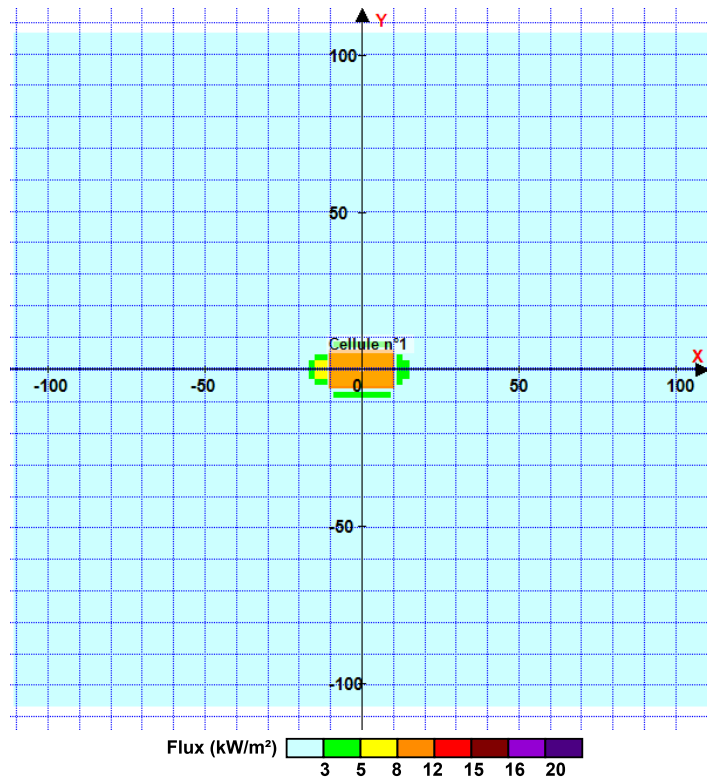
FLUMilog

Interface graphique v.5.5.0.0

Outil de calculV5.52

Flux Thermiques Détermination des distances d'effets

Distance d'effets des flux maximum



Pour information : Dans l'environnement proche de la flamme, le transfert convectif de chaleur ne peut être négligé. Il est donc préconisé pour de faibles distances d'effets comprises entre 1 et 5 m de retenir une distance d'effets de 5 m et pour celles comprises entre 6 m et 10 m de retenir 10 m.

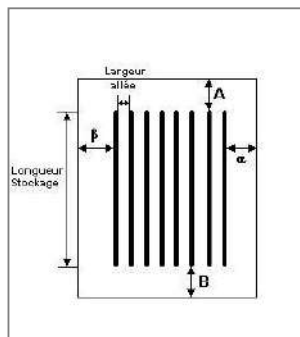
Utilisateur :	Baptiste Albina
Société :	ENVIRONNEMENTXO
Nom du Projet :	ChaiProjet1AMED_1655388471
Cellule :	ChaiProjet1
Commentaire :	AMED
Création du fichier de données d'entrée :	16/06/2022 à 14:45:28 avec l'interface graphique v. 5.5.0.0
Date de création du fichier de résultats :	16/6/22

Stockage de la cellule : Cellule n°1

Nombre de niveaux : **1**
 Mode de stockage : **Rack**

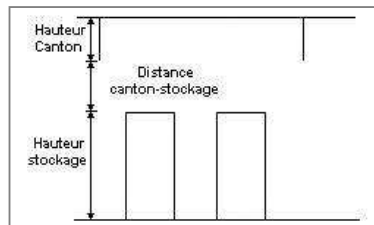
Dimensions

Longueur de stockage : **0,0** m
 Déport latéral α : **0,0** m
 Déport latéral β : **0,0** m
 Longueur de préparation A : **0,0** m
 Longueur de préparation B : **0,0** m
 Hauteur maximum de stockage : **0,0** m
 Hauteur du canton : **0,0** m
 Ecart entre le haut du stockage et le canton : **0,0** m



Stockage en rack

Sens du stockage : **dans le sens de la paroi 1**
 Nombre de double racks : **0**
 Largeur d'un double rack : **0,0** m
 Nombre de racks simples : **0**
 Largeur d'un rack simple : **0,0** m
 Largeur des allées entre les racks : **0,0** m



Palette type de la cellule Cellule n°1

Dimensions Palette

Longueur de la palette : **Adaptée aux dimensions de la palette**
 Largeur de la palette : **Adaptée aux dimensions de la palette**
 Hauteur de la palette : **Adaptée aux dimensions de la palette**
 Volume de la palette : **Adaptée aux dimensions de la palette**

Nom de la palette : **Ethanol** Poids total de la palette : **Par défaut**

Composition de la Palette (Masse en kg)

NC	NC	NC	NC	NC	NC	NC
0,0	0,0	0,0	0,0	0,0	0,0	0,0

NC	NC	NC	NC	NC	NC	NC
0,0	0,0	0,0	0,0	0,0	0,0	0,0

NC	NC	NC	NC
0,0	0,0	0,0	0,0

Données supplémentaires

Durée de combustion de la palette : **0,0** min
 Puissance dégagée par la palette : **Adaptée aux dimensions de la palette**
 Rappel : les dimensions standards d'une Ethanol sont de 1,2 m * 0,8 m x 1,5 m, sa puissance est de 0,0 kW

Merlons



Merlon n°	Hauteur (m)	Coordonnées du premier point		Coordonnées du deuxième point	
		X1 (m)	Y1 (m)	X2 (m)	Y2 (m)
1	0,0	0,0	0,0	0,0	0,0
2	0,0	0,0	0,0	0,0	0,0
3	0,0	0,0	0,0	0,0	0,0
4	0,0	0,0	0,0	0,0	0,0
5	0,0	0,0	0,0	0,0	0,0
6	0,0	0,0	0,0	0,0	0,0
7	0,0	0,0	0,0	0,0	0,0
8	0,0	0,0	0,0	0,0	0,0
9	0,0	0,0	0,0	0,0	0,0
10	0,0	0,0	0,0	0,0	0,0
11	0,0	0,0	0,0	0,0	0,0
12	0,0	0,0	0,0	0,0	0,0
13	0,0	0,0	0,0	0,0	0,0
14	0,0	0,0	0,0	0,0	0,0
15	0,0	0,0	0,0	0,0	0,0
16	0,0	0,0	0,0	0,0	0,0
17	0,0	0,0	0,0	0,0	0,0
18	0,0	0,0	0,0	0,0	0,0
19	0,0	0,0	0,0	0,0	0,0
20	0,0	0,0	0,0	0,0	0,0

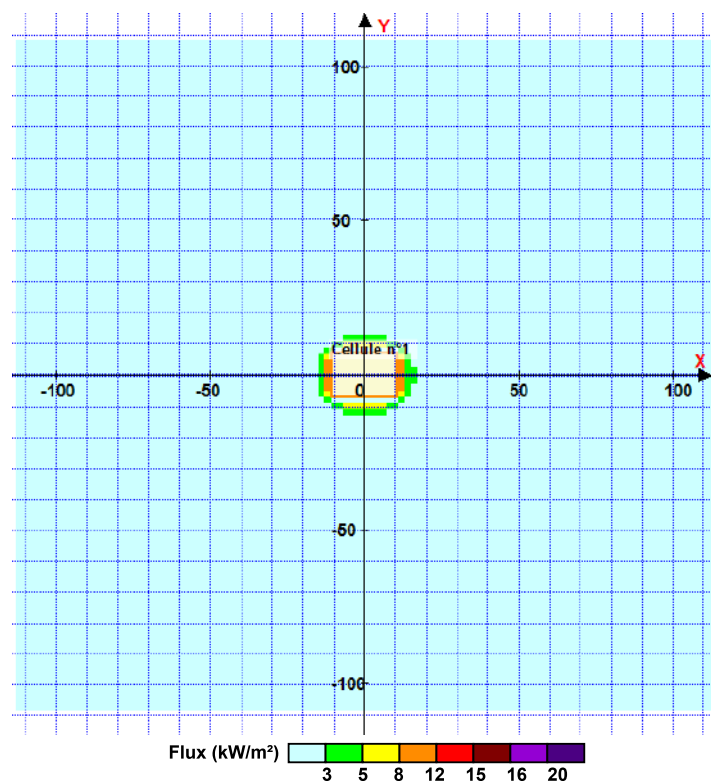
II. RESULTATS :

Départ de l'incendie dans la cellule : Cellule n°1

La cinétique de l'incendie n'est pas calculée pour les liquides inflammables.

Durée de l'incendie dans la cellule : Cellule n°1 120,0 min

Distance d'effets des flux maximum



Pour information : Dans l'environnement proche de la flamme, le transfert convectif de chaleur ne peut être négligé. Il est donc préconisé pour de faibles distances d'effets comprises entre 1 et 5 m de retenir une distance d'effets de 5 m et pour celles comprises entre 6 m et 10 m de retenir 10 m.

FLUMilog

Interface graphique v.5.5.0.0

Outil de calcul V5.52

Flux Thermiques Détermination des distances d'effets

Utilisateur :	Baptiste Albina
Société :	ENVIRONNEMENTXO
Nom du Projet :	ChaiProjet2AMED_1655449814
Cellule :	ChaiProjet2
Commentaire :	AMED
Création du fichier de données d'entrée :	17/06/2022 à 09:09:13 avec l'interface graphique v. 5.5.0.0
Date de création du fichier de résultats :	17/6/22

Stockage de la cellule : Cellule n°1

Mode de stockage **LI**
 Masse totale de liquides inflammables **75 t**



Palette type de la cellule Cellule n°1

Dimensions Palette

Longueur de la palette : **Sans Objet**
 Largeur de la palette : **Sans Objet**
 Hauteur de la palette : **Sans Objet**
 Volume de la palette : **Sans Objet**
 Nom de la palette : **Ethanol** Poids total de la palette : **Par défaut**

Composition de la Palette (Masse en kg)

NC	NC	NC	NC	NC	NC	NC
0,0	0,0	0,0	0,0	0,0	0,0	0,0

NC	NC	NC	NC	NC	NC	NC
0,0	0,0	0,0	0,0	0,0	0,0	0,0

NC	NC	NC	NC
0,0	0,0	0,0	0,0

Données supplémentaires

Durée de combustion de la palette : **Sans Objet**
 Puissance dégagée par la palette : **Sans Objet**

Merlons



Merlon n°	Hauteur (m)	Coordonnées du premier point		Coordonnées du deuxième point	
		X1 (m)	Y1 (m)	X2 (m)	Y2 (m)
1	0,0	0,0	0,0	0,0	0,0
2	0,0	0,0	0,0	0,0	0,0
3	0,0	0,0	0,0	0,0	0,0
4	0,0	0,0	0,0	0,0	0,0
5	0,0	0,0	0,0	0,0	0,0
6	0,0	0,0	0,0	0,0	0,0
7	0,0	0,0	0,0	0,0	0,0
8	0,0	0,0	0,0	0,0	0,0
9	0,0	0,0	0,0	0,0	0,0
10	0,0	0,0	0,0	0,0	0,0
11	0,0	0,0	0,0	0,0	0,0
12	0,0	0,0	0,0	0,0	0,0
13	0,0	0,0	0,0	0,0	0,0
14	0,0	0,0	0,0	0,0	0,0
15	0,0	0,0	0,0	0,0	0,0
16	0,0	0,0	0,0	0,0	0,0
17	0,0	0,0	0,0	0,0	0,0
18	0,0	0,0	0,0	0,0	0,0
19	0,0	0,0	0,0	0,0	0,0
20	0,0	0,0	0,0	0,0	0,0

II. RESULTATS :

Départ de l'incendie dans la cellule : Cellule n°1

La cinétique de l'incendie n'est pas calculée pour les liquides inflammables.

Durée indicative de l'incendie dans la cellule LI : Cellule n°1 167,4 min (durée de combustion calculée)

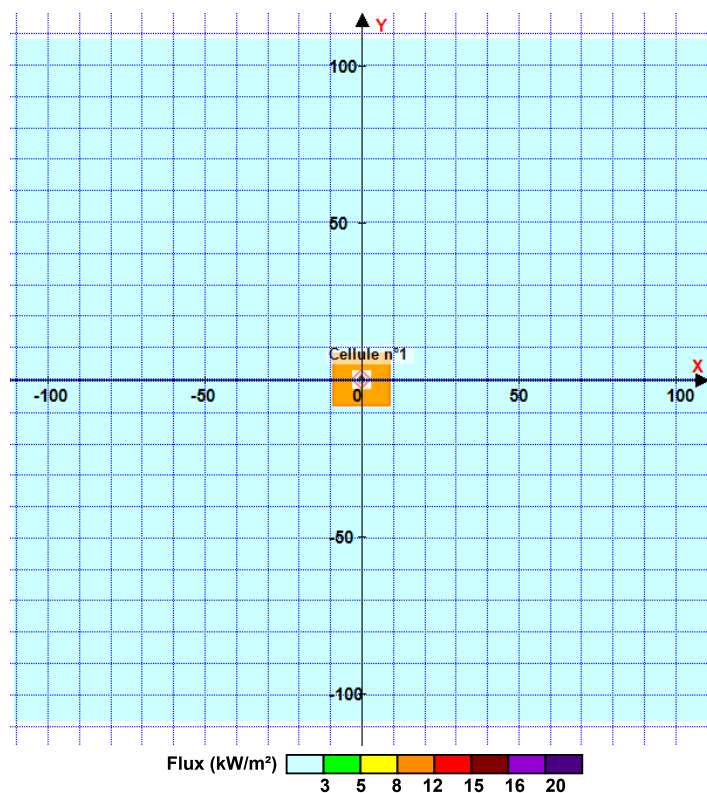
FLUMilog

Interface graphique v.5.5.0.0

Outil de calculV5.52

Flux Thermiques Détermination des distances d'effets

Distance d'effets des flux maximum



Pour information : Dans l'environnement proche de la flamme, le transfert convectif de chaleur ne peut être négligé. Il est donc préconisé pour de faibles distances d'effets comprises entre 1 et 5 m de retenir une distance d'effets de 5 m et pour celles comprises entre 6 m et 10 m de retenir 10 m.

Utilisateur :	Baptiste Albina
Société :	ENVIRONNEMENTXO
Nom du Projet :	ChaiA6AMHH_1655374127
Cellule :	ChaiA6
Commentaire :	AMHH
Création du fichier de données d'entrée :	16/06/2022 à 11:52:48 avec l'interface graphique v. 5.5.0.0
Date de création du fichier de résultats :	16/6/22

